

# Otimização e Análise Crítica de um Classificador de Ataques de Rede por Similaridade no Dataset CIC-IDS-2018

Nícolas Warmeling<sup>1</sup>, Laura Klippel<sup>1</sup>, Carlo Mantovani<sup>1</sup>, Tiago Ferreto<sup>1</sup>

<sup>1</sup>Escola Politécnica – Pontifícia Universidade Católica do Rio Grande do Sul (PUCRS)  
90619-900 – Porto Alegre – RS – Brasil

{nicolas.warmeling, laura.klippel, c.mantovani, tiago.ferreto}@edu.pucrs.br

**Abstract.** *This work optimizes a network packet classification model based on similarity vectors for the CIC-IDS-2018 dataset. To address memory challenges exceeding 100 GB RAM, the FAISS library replaced the k-NN algorithm, enabling analysis on a high-performance VM. Replicating original test scenarios with additional precision metrics revealed low effectiveness in detecting under-represented attacks, reflecting the accuracy paradox in imbalanced datasets. While optimizations proved successful, data balancing is necessary for robust intrusion detection systems.*

**Resumo.** *Este trabalho otimiza um modelo de classificação de pacotes de rede baseado em vetores de similaridade para o dataset CIC-IDS-2018. Para enfrentar desafios de memória superiores a 100 GB de RAM, a biblioteca FAISS substituiu o algoritmo k-NN, possibilitando análise em uma VM de alta performance. A replicação dos cenários de teste originais com métricas adicionais de precisão revelou baixa efetividade na detecção de ataques sub-representados, refletindo o paradoxo da acurácia em datasets desbalanceados. Embora as otimizações tenham sido bem-sucedidas, o balanceamento de dados é necessário para sistemas de detecção de intrusão robustos.*

## 1. Introdução

Com a crescente dependência global em tecnologia, esses ativos se tornam cada vez mais valiosos. Consequentemente, a necessidade de protegê-los torna-se uma prioridade [IBM X-Force 2022]. Diante deste cenário, os Network Intrusion Detection System (NIDS) trabalham recebendo tráfego de rede e comparando os padrões (assinaturas) com seu banco de dados de ameaças conhecidas. Se houver correspondência, a intrusão é identificada [Sharafaldin et al. 2018].

O projeto desenvolvido utiliza NIDS aprimorados com Aprendizado de Máquina (ML). Esta abordagem visa superar as limitações das NIDS tradicionais, cuja rigidez de dados impede de identificar ameaças novas e evoluídas [Singhal 2001]. No entanto, a migração de classificadores existentes para datasets modernos e massivos, como o CIC-IDS-2018, apresenta desafios computacionais e de análise. Este trabalho aborda a otimização de um classificador baseado em similaridade para lidar com esse volume de dados e analisa criticamente seu desempenho em um cenário de classes desbalanceadas.

## 2. Objetivos

Este trabalho tem como objetivo investigar o desempenho de um classificador de ataques de rede baseado em similaridade, modernizado através da substituição do algoritmo

k-NN pela biblioteca FAISS para operar com eficiência no volume massivo do dataset CIC-IDS-2018. A análise busca validar essa otimização comparando-a com resultados obtidos em datasets anteriores (CIC-IDS-2017) e aplicando métricas estatísticas robustas, como F1-Score e médias por classe. O foco central é evidenciar o impacto crítico do desbalanceamento de dados, quantificando o paradoxo da acurácia e a limitações do modelo na detecção de ameaças sub-representadas.

### 3. Análise Comparativa dos Datasets

A transição para o dataset CIC-IDS-2018 impõe desafios de volume e complexidade superiores aos do CIC-IDS-2017 [Sharafaldin et al. 2018]. A motivação para a arquitetura proposta decorre de experimentos preliminares no dataset de 2017, onde a classificação por similaridade demonstrou alto potencial, atingindo **93,25%** de precisão em cenários controlados e balanceados. Contudo, a técnica mostrou-se inviável em larga escala devido ao custo da busca em força bruta. A necessidade de reduzir a base de treino para apenas 25% das amostras resultou em perda de representatividade, derrubando a precisão global para **63,58%**. Para superar essa limitação e processar o CIC-IDS-2018 em sua totalidade, este trabalho implementa a otimização via FAISS em infraestrutura de alto desempenho, concretizando a necessidade de paralelização apontada nos experimentos anteriores para recuperar a eficácia do modelo.

#### 3.1. Volume de Dados

O dataset CIC-IDS2018 apresenta um volume significativamente maior de dados em comparação ao CIC-IDS2017. Como consequência, houve um aumento substancial na demanda de processamento, exigindo aproximadamente 80 GB de memória RAM, com picos que chegaram a 100 GB durante a execução dos experimentos. Além disso, observa-se uma diferença marcante na proporção entre amostras benignas e maliciosas, o que introduz um desbalanceamento acentuado o que impacta diretamente as etapas de análise e modelagem.

#### 3.2. Diferenças de Rotulagem entre Datasets

As divergências entre os dois datasets (CIC-IDS2017 e CIC-IDS2018) não se limitam a um simples aumento no volume de dados; a forma como as informações são organizadas também difere. Algumas diferenças relevantes incluem:

- **Remoção de ataques específicos:** Os ataques Heartbleed e PortScan, presentes no dataset de 2017, foram eliminados no conjunto de 2018.
- **Reorganização de categorias de ataque:** A categoria DDoS, que no CIC-IDS2017 se fazia presente como uma única *label* (rótulo) genérica, foi subdividida no CIC-IDS2018 em classificações mais específicas, como DDoS attack-HOIC e DDoS attack-LOIC-UDP.
- **Alterações de nomenclatura:** Ataques como DoS Hulk, GoldenEye, SlowHTTPTest, Slowloris, FTP-BruteForce, SSH-Bruteforce, Bot, Infiltration, Web Brute Force, Web XSS e SQL Injection foram mantidos no novo dataset, porém sofreram pequenas modificações em seus nomes ou padronizações.

A distribuição de rótulos de cada dataset está representada na Tabela 1 e Tabela 2.

**Tabela 1. Distribuição de rótulos no CICIDS 2017**

Nome	Ocorrência
BENIGN	2.272.895
DoS Hulk	231.072
PortScan	158.930
DDoS	128.027
DoS GoldenEye	10.293
FTP-Patator	7.938
SSH-Patator	5.897
DoS slowloris	5.796
DoS Slowhttptest	5.499
Bot	1.966
Web Attack Brute Force	1.507
Web Attack XSS	652
Infiltration	36
Web Attack Sql Injection	21
Heartbleed	11

**Tabela 2. Distribuição de rótulos no CICIDS 2018**

Nome	Ocorrência
Benign	6.095.415
DDOS attack-HOIC	668.461
DoS attacks-Hulk	434.873
Bot	282.310
Infiltration	161.897
SSH-Bruteforce	117.322
DoS attacks-GoldenEye	41.455
FTP-BruteForce	39.352
DoS attacks-SlowHTTPTest	19.462
DoS attacks-slowloris	10.285
DDOS attack-LOIC-UDP	1.730
Brute Force -Web	611
Brute Force -XSS	230
SQL Injection	87

## 4. Metodologia

A metodologia adotada consiste em um pipeline de processamento de dados para extração de características, seguido pela construção de um classificador baseado em similaridade vetorial otimizado.

### 4.1. Seleção e Pré-processamento de Dados

O conjunto de dados CIC-IDS-2018 foi submetido a um processo de limpeza e transformação. Inicialmente, foram selecionadas 23 *features* estatísticas e de cabeçalho consideradas mais relevantes para a caracterização de fluxos, descartando atributos redundantes ou de baixo valor preditivo. As variáveis selecionadas foram:

- **Identificação e Cabeçalho:** *Protocol, Fwd Header Len, Bwd Header Len.*
- **Tempo e Fluxo:** *Flow IAT Mean, Flow IAT Min, Flow IAT Max, Fwd IAT Mean, Bwd IAT Mean, Idle Mean, Active Mean, Active Min, Active Max.*
- **Estatísticas de Pacotes:** *Fwd Pkt Len Mean, Bwd Pkt Len Mean, Fwd Pkt Len Min, Fwd Pkt Len Max, Pkt Len Min, Pkt Len Max.*
- **Flags TCP:** *SYN Flag Cnt, PSH Flag Cnt, ACK Flag Cnt, URG Flag Cnt, FIN Flag Cnt.*

Para garantir a identificação única de cada fluxo e permitir o rastreamento durante a classificação, foi criado um identificador composto denominado *Flow\_Label*. Este identificador é gerado pela concatenação dos valores brutos das colunas selecionadas, servindo como chave primária para os vetores.

O pré-processamento seguiu as seguintes etapas:

1. **Limpeza:** Remoção de duplicatas baseadas no *Flow\_Label* e tratamento de valores nulos.

2. **Codificação:** Os rótulos das classes (*Labels*) foram convertidos utilizando *One-Hot Encoding*, permitindo a classificação multilabel.
3. **Padronização:** Foi aplicado o algoritmo *StandardScaler* (Z-Score), ajustando as features para média 0 e desvio padrão 1. Esta etapa é crítica para algoritmos baseados em distância, impedindo que variáveis com grandes magnitudes dominem o cálculo vetorial.

#### 4.2. Arquitetura do Classificador e Otimização com FAISS

A classificação baseia-se na premissa de que fluxos de ataques semelhantes possuem vetores de características próximos no espaço vetorial. A métrica utilizada para quantificar essa proximidade foi a Similaridade de Cosseno.

Na implementação inicial utilizando a biblioteca *scikit-learn* (*Nearest-Neighbors*), a complexidade computacional da busca em força bruta inviabilizou a execução no dataset completo devido ao consumo excessivo de memória RAM e tempo de CPU.

Para solucionar este gargalo, o módulo de busca de vizinhos foi substituído pela biblioteca **FAISS** (Facebook AI Similarity Search). A implementação utilizou o índice *IndexFlatIP* (*Inner Product*), que realiza o cálculo exato da similaridade. Para equivaler à similaridade de cosseno, os vetores de consulta e de base foram submetidos a uma normalização L2 prévia ( $\|v\| = 1$ ).

O pipeline de classificação final opera da seguinte forma:

1. O conjunto de treino é indexado no FAISS.
2. Para cada fluxo do conjunto de teste, o sistema recupera os  $k$  vizinhos mais próximos ( $k = 50$ ).
3. A classificação é atribuída com base na frequência majoritária dos rótulos presentes nesses vizinhos recuperados.

#### 4.3. Ambiente Experimental

Os experimentos foram executados em um ambiente virtualizado de alto desempenho, configurado para suportar a carga de dados massiva do CIC-IDS-2018.

A infraestrutura de hardware alocada para a máquina virtual (VM) consistiu em:

- **Processamento:** 32/64 cores de CPU Intel(R) Xeon(R) Silver 4310.
- **Memória:** 160 GB de RAM.
- **Armazenamento:** 500 GB de disco rígido (HDD)

A implementação do software foi realizada em linguagem **Python 3**, utilizando o ecossistema de bibliotecas *pandas* e *numpy* para estruturação de dados, *scikit-learn* para o pipeline de pré-processamento, e *faiss-cpu* para a motorização da busca vetorial.

### 5. Discussão e Resultados

Para avaliar o desempenho do novo dataset e das estratégias de otimização realizadas, foram definidos quatro cenários de teste:

- **Primeiro Cenário:** Foca na detecção de ataques com baixo volume de amostras, avaliando a capacidade do modelo em identificar classes raras.
- **Segundo Cenário:** Treina o modelo exclusivamente com os ataques mais frequentes, submetendo-o posteriormente a um ambiente diversificado para verificar sua capacidade de generalização.
- **Terceiro Cenário:** Avalia o desempenho utilizando uma divisão percentual de todos os dados entre treino e teste.
- **Quarto Cenário:** Utiliza 70% do dataset para treino e 30% para teste, permitindo uma análise mais padronizada e comparável com estudos similares.

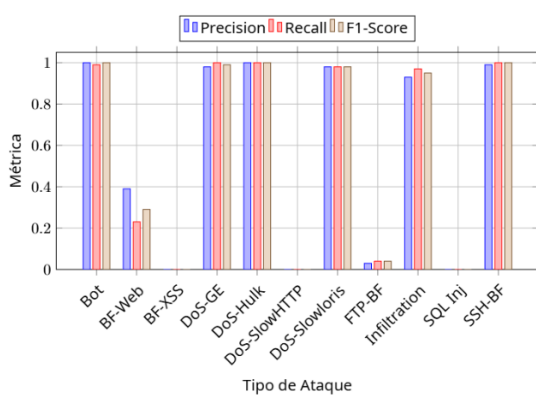
## 5.1. Métricas de Avaliação

Inicialmente, a análise baseou-se nas métricas clássicas Precision e Recall [Powers 2011]. No entanto, em contextos de desbalanceamento de classes, essas métricas isoladas podem não refletir o desempenho real nas classes minoritárias. Para superar essa limitação, este trabalho incorporou indicadores mais robustos, calculados com o auxílio da biblioteca Scikit-learn [Pedregosa et al. 2011]:

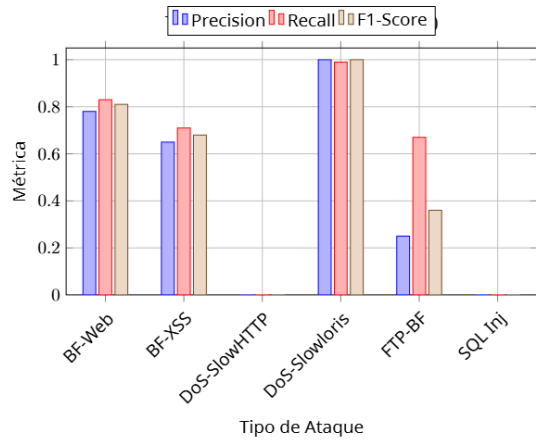
- **Suporte:** Representa o número absoluto de amostras de cada classe no conjunto de teste. É fundamental para diferenciar o desempenho entre ataques massivos e raros.
- **Micro Average:** Calcula a performance global, somando os verdadeiros positivos, falsos negativos e falsos positivos de todas as classes. Tende a ser dominada pelas classes com maior suporte e reflete a acurácia geral do sistema.
- **Macro Average:** Calcula a média aritmética simples das métricas de cada classe, sem ponderar pelo suporte. Diferente da Micro, a Macro trata todas as classes com igual importância, e penaliza severamente a pontuação final caso o modelo falhe na detecção de ataques raros, servindo como o principal indicador de viabilidade do sistema em cenários reais.

## 5.2. Testes

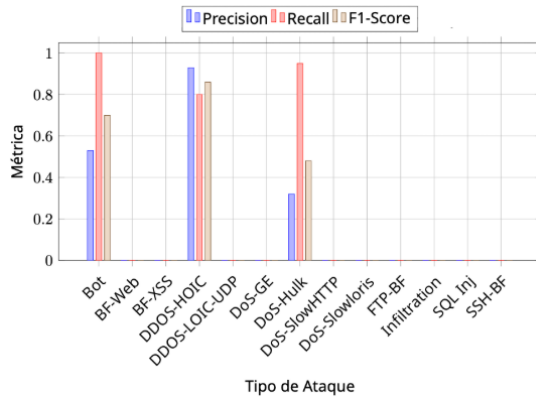
Os quatro testes demonstram que, apesar da acurácia global alta, o classificador falha consistentemente em ataques raros. No teste 70/30 (Gráfico 1) e no Teste 3 (Gráfico 4), o modelo tem ótimo desempenho nas classes comuns (**Micro Avg de 0.99 e 0.94**, respectivamente), mas a queda abrupta na média por classe (**Macro Avg de 0.57 e 0.56**) revela que o F1-Score é próximo de zero nas classes com pouco suporte. O Teste 1 (Gráfico 2) confirma isso ao focar nos ataques menos frequentes, resultando em uma **Macro Avg de apenas 0.45**, no qual somente as classes com mais exemplos têm resultados satisfatórios. Já no Teste 2 (Gráfico 3), treinado somente com ataques comuns, a **Macro Avg reduz para 0.14**, indicando que o desempenho nas demais classes praticamente desaparece. Em conjunto, os testes demonstram que o desbalanceamento é o principal limitador do modelo, independentemente do volume total de dados.



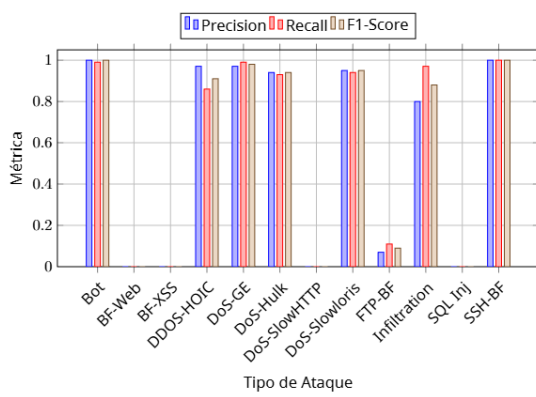
**Figura 1. Resultados do Teste 70/30**



**Figura 2. Resultados do Teste 1**



**Figura 3. Resultados do Teste 2**



**Figura 4. Resultados do Teste 3**

## 6. Trabalhos Relacionados

A literatura lida com o desbalanceamento de classes variando desde reamostragem clássica até *Deep Learning*. O modelo IDS-SMOTE-RF [Alshamy et al. 2021] estabelece o *benchmark* padrão, utilizando a técnica SMOTE para gerar dados sintéticos simples antes da classificação. Em contraste, abordagens modernas evoluíram para o uso de Redes Generativas Adversárias (GANs) [Barkah et al. 2023] e arquiteturas híbridas com *Auto-encoders* e *Transformers* [Kamal and Mashaly 2025], que buscam aprender a distribuição real dos ataques para gerar amostras complexas.

A contribuição deste trabalho diferencia-se ao demonstrar empiricamente que, mesmo resolvendo o gargalo de performance computacional com o uso do FAISS, a dificuldade do modelo com ataques raros persiste no CIC-IDS-2018. Isso confirma que o aumento de volume de dados não substitui a necessidade crítica da aplicação dessas técnicas de balanceamento.

## 7. Conclusão

O classificador de rede foi implementado para o dataset CIC-IDS-2018 com sucesso, superando as limitações computacionais observadas em trabalhos anteriores com o dataset

de 2017. Enquanto estudos passados viram a precisão cair para 63% devido à incapacidade de processar todo o volume de dados, a utilização da biblioteca FAISS aliada a uma infraestrutura de 160GB de RAM permitiu, neste trabalho, a indexação completa do vetor base sem perda de características por restrição de hardware.

Neste trabalho, teve-se a oportunidade de demonstrar, na prática e em larga escala, as limitações de um classificador treinado com dados desbalanceados. As métricas de análise permitiram avaliar seu desempenho de forma mais precisa, revelando que, apesar da alta acurácia geral, o modelo apresentava falhas críticas na detecção de ataques minoritários, um ponto que a acurácia, isoladamente, não evidencia [Powers 2011]. Com base nessas conclusões, trabalhos futuros podem investigar outras técnicas de balanceamento de dados para aprimorar a detecção de ataques raros, como a geração de dados sintéticos por meio de Redes Generativas Adversárias (GANs) [Arjovsky et al. 2017]. A melhoria da robustez do classificador contra classes minoritárias permanece como o principal desafio para a evolução deste trabalho.

## Referências

- Alshamy, R., Ghurab, M., Othman, S., and Alshami, F. (2021). *Intrusion Detection Model for Imbalanced Dataset Using SMOTE and Random Forest Algorithm*, pages 361–378.
- Arjovsky, M., Chintala, S., and Bottou, L. (2017). Wasserstein GAN. In *Proceedings of the 34th International Conference on Machine Learning*, pages 214–223. PMLR.
- Barkah, A., Selamat, S. R., Abidin, Z., and Wahyudi, R. (2023). Data generative model to detect the anomalies for ids imbalance cicids2017 dataset. *TEM Journal*, 12:80–89.
- IBM X-Force (2022). X-force threat intelligence index 2022. Technical report, IBM Corp.
- Kamal, H. and Mashaly, M. (2025). Hybrid deep learning-based autoencoder-dnn model for intelligent intrusion detection system in iot networks. pages 1–6.
- Pedregosa, F., Varoquaux, G., Gramfort, A., Michel, V., Thirion, B., Grisel, O., Blondel, M., Prettenhofer, P., Weiss, R., Dubourg, V., Vanderplas, J., Passos, A., Cournapeau, D., Brucher, M., Perrot, M., and Duchesnay, E. (2011). Scikit-learn: Machine learning in python. *Journal of Machine Learning Research*, 12:2825–2830. Acesso em: 27 jun. 2025.
- Powers, D. M. W. (2011). Evaluation: from precision, recall and F-measure to ROC, informedness, markedness and correlation. *Journal of Machine Learning Technologies*, 2(1):37–63.
- Sharafaldin, I., Lashkari, A. H., and Ghorbani, A. A. (2018). Toward generating a new intrusion detection dataset and intrusion traffic characterization. In *Proceedings of the 4th International Conference on Information Systems Security and Privacy (ICISSP)*, pages 108–116, Funchal, Madeira, Portugal. SciTePress. Dataset available at <https://www.unb.ca/cic/datasets/ids-2018.html>.
- Singhal, A. (2001). Modern information retrieval: a brief overview. *IEEE Data Engineering Bulletin*, 24(4):35–43.